

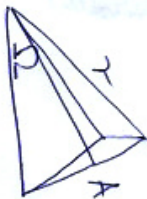
Képfelbolyg ZH kérdések

Fénytani mértékegységek

1. A sugárzási tér energetikai és fotometriai mennyiségei

Energetikai (sugárzási) mennyiségek			Fotometriai (fény-) mennyiségek		
Neve	Definíció	Mértékegység	Neve	Definíció	Mértékegység
Energiaáram (sugárzási teljesítmény)	$\phi_e = \frac{dW_e}{dt}$	W	Fényáram	$\phi = \frac{dW}{dt}$	lm (lumen) = cd·sr
Sugár(zási) erősség	$I_e = \frac{d\phi_e}{d\Omega}$	$\frac{W}{sr}$	Fényerősség	$I = \frac{d\phi}{d\Omega}$	cd (candela)
Sugár(zási) sűrűség	$B_e = \frac{dI_e}{df \cos \theta}$	$\frac{W}{m^2 \cdot sr}$	Fénysűrűség	$B = \frac{dI}{df \cos \theta}$	$\frac{cd}{m^2}$
Besugárzott fajiagos teljesítmény	$E_e = \frac{d\phi_e}{df'}$	$\frac{W}{m^2}$	Megvilágítás	$E = \frac{d\phi}{df'}$	lx (lux) = $\frac{lm}{m^2} = \frac{cd \cdot sr}{m^2}$

Teljesítmény:



$$\Omega = \frac{A}{r^2}$$

$$A_{\text{gömb}} = 4\pi r^2$$

teljesítményteljesítmény

$$\Omega = 4\pi$$

2008 tavasz

Dr. L. Vajta IIT-BME Előadás jegyzet

2
3

Az emberi látás sávszélességének jellemzői

Az elektro mágness sugárzás 400-700 nm köré eső részét észleljük. Ez szűk tartomány, de az atmoszférában a sugárzás 83% becsúszik.

Retina

Pálcaik: nagyobb fényérzékenység, elsősorban éjszakai látás és éjszakai közepek. Fekete-fehér látás. Deminidusan a látásról nem tudunk jelen? Látásról közepek mellett megpróbáljuk a minőségbeles. => Gyenge fényben a periferiális látás a jobb.

csapok: színérzékelés. Nagyobb fényintenzitás igény

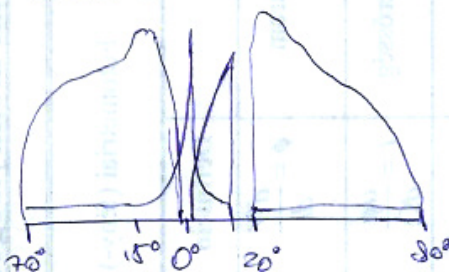
3 típus: spektrális érzékenység:

L = 600 nm közeli nagy érzékenység

M = 530 nm -"-

S = 440 nm -"-

pálcaik csapok alomból



Adaptáció a környezethez

éjszaka / nappal körüli ~~fény~~ fényintenzitás körül $4 \cdot 10^{10}$ is lehet pupillával ezt $3 \cdot 10^9$ -re lehet csökkenteni. Ezt az átfogást a szem a pálcák csapok közötti átkapcsolással oldja meg. Az agy a fényben során nem érte el kiaboz intenzitást elégett intenzitás kontinuitással dolgozik (denizált). Az adaptáció időigényes, több 10 perc bírósza.

2)

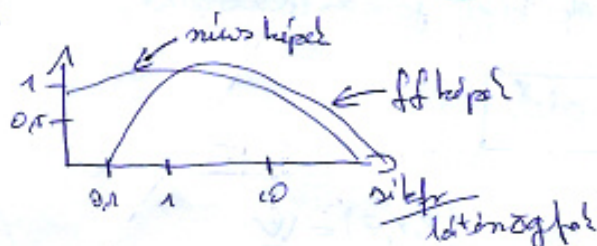
Fokte-Fokén látás

A kontinuitás (lagartmikus) érzékelésére épül.

$$\frac{f_2 - f_1}{f_1} = \frac{f_3 - f_2}{f_2} \quad \text{azonos kontinuitás esetén } \Delta f \neq f_2 - f_1 \neq f_3 - f_2$$

$\Delta f = f_2 - f_1 =$ kontinuitáskörös, függ a környezeti fénytől

$\frac{\Delta f}{f_1} =$ kontinuitáskörös arány, körül állásból, síkfelületre érkező



Síkfelület: 1 látómezőben azonos periódusok száma

Kontinuitáskörös hiányában a képek közötti távolság növekedése miatt a méret és az irány érzékelése

4 | Az emberi térérzékelés komponensei

3D világ → 2D kép. Agy elmozdítja a vizuális információt, de hogyan? A stereo látás nem elég magyarázat:

- 1) Egy szemmel is jó térérzés
- 2) Térérzés sokkal jobb mint a szemmel való térérzés magyarázta
- 3) Szemmel való térérzésből 10 m-es távolság csak 5 cm felbontás lehetséges. Ennek ~~szóval~~ sokkal jobbát vagyunk.

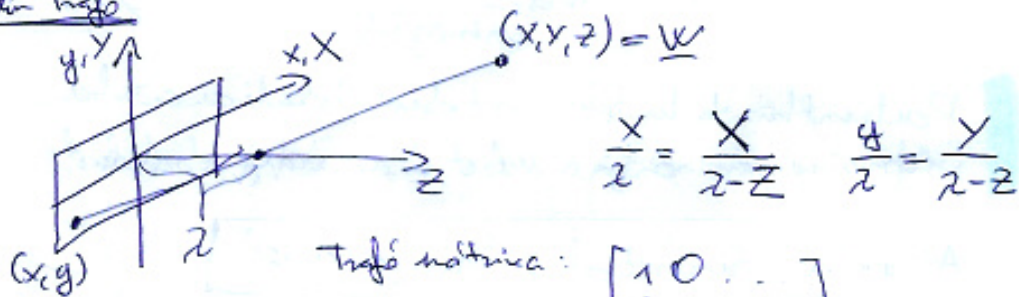
Térlátás összetevői:
- extraretinális
- monokuláris
- binokuláris

Projektálás → 3D

- Síni perspektíva**: - ömlesztő család a ∞ ban
- képfelület**:
 - objektum alakított képméret nem csak az objektum mérettől, hanem a távolságtól is függ
 - felületi textúra méretarányokból kör 3D-re, különböző ismétlődő méretű alakelemekre
- légtérre történő**: Távolságtól az elmosódott mérettel távolabbraak almosodnak.
- Árnyékolás & kontúr**: árnyékolás, elmosódás ~~és~~ árnyékolás
- Ábrázolás alapú ortográf**: Ahogy az objektum mérete elcsúszkál a közeli objektumok képe jobban elmosódik.

5 Homogén koordináták kanonikus modell

Perspektív transzformáció



$$\frac{x}{z} = \frac{x'}{z'} \quad \frac{y}{z} = \frac{y'}{z'}$$

Transzformációs mátrix:

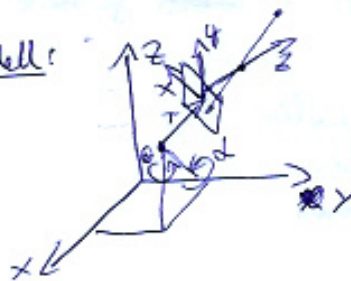
$$P = \begin{bmatrix} 1 & 0 & 0 & 0 \\ 0 & 1 & 0 & 0 \\ 0 & 0 & 1 & 0 \\ 0 & 0 & -1/z' & 1 \end{bmatrix}$$

$$W_h = \begin{bmatrix} kx \\ ky \\ kz \\ k \end{bmatrix}$$

$$C_h = P \cdot W_h$$

C_h -ből nem kaphatók a méret W_h P^{-1} -el, kell még egy mélységi érték.

Kanonikus modell:



$$W_0 = \begin{bmatrix} x_0 \\ y_0 \\ z_0 \end{bmatrix} \text{ kanonikus körkép utótranszformáció}$$

τ - gimbalis körkép utótranszformáció

$$G = \begin{bmatrix} 1 & -x_0 \\ 1 & -y_0 \\ 1 - z_0 & 1 \end{bmatrix}$$

$$C_h = P \cdot C \cdot R \cdot G \cdot W_h$$

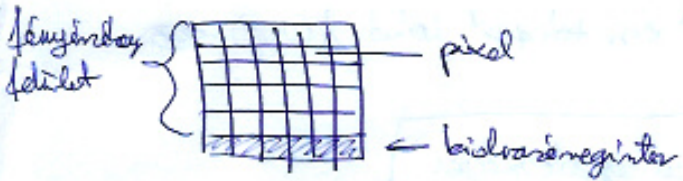
$$C = \begin{bmatrix} 1 & -\tau_1 \\ 1 & -\tau_2 \\ 1 - \tau_3 & 1 \end{bmatrix}$$

4)

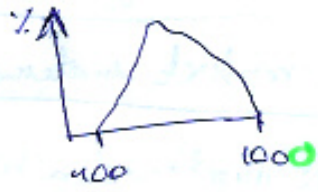
$$R = \begin{bmatrix} \cos \theta & \sin \theta & 0 & 0 \\ -\sin \theta & \cos \theta & \sin \alpha & 0 \\ \sin \theta & -\cos \theta & \cos \alpha & 0 \\ 0 & 0 & 0 & 1 \end{bmatrix}$$

6 | CCD, PSD érzékelők fogalma & működése

CCD (1970-től) MOS technológiából származóan elhelyezve egy félvezető laposkémén egy **beolvasási csatlakozás** **erősítő** memóriákkal és opti érzékelőkkel állítják. CCD = **töltés csatlakozó elem**



Spektrális érzékenység



Hátrányok: - felbontás elmarad a fotótól
- érzékelő méret is

Előny: - Intenzitás - kiadott jel nagyság lineáris
- Intenzitás helyesen megjelölhető képfelület és képhaloizáció képpontok fényerőssége 10^4 (Fotónál 10^2 csak) Felő határ a pixel telítődés miatt van.

Hibakeresés és misztikumok lehetnek a pixelen előtt a **nagy fényerősségre** és a **szűres kiépítésben**

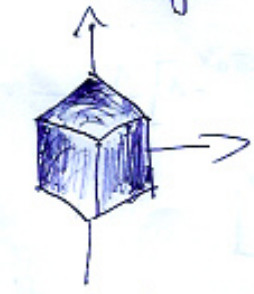
Részlet nem kívánó káltehetőek ki. Ez alapján értékelés a chipen.

PSD detektorok:

CMOS érzékelőket használják. A pixelen **szor onlop elemek** egyenként elemek. Az érzékelő a **relektív** **szor onlop elemek** mint a kép közepén. **Nem lineáris Intenzitás kiadott jel utána**. Előny: **olcsó**, **lapos** **belül** **timer + A/D konv.**

7 | Lambert visszaverődés, a diffúz képek sajátosságai

Diffúz anyag esetén a visszavert sugárerősség független a nézet irányától.



terjedés (teljesítmény)



Intenzitás (előző darabhoz)

Lambert modell alapján képzés **intenzitás** képek **felület** a az **oly formájú** **teljes** **felület**



\underline{u} normált

$$J = \rho \cdot \underline{u} \cdot \underline{\Delta}$$

$$|\underline{u}| = \frac{(\frac{1}{\Delta_1}, \frac{1}{\Delta_2}, -1)}{\sqrt{\frac{1}{\Delta_1^2} + \frac{1}{\Delta_2^2} + 1}}$$

$$\underline{\Delta} = [\Delta_1, \Delta_2, \Delta_3]$$

Teljesen egy interakciósip tekintendő egy tárgyat leíró $f(x, y)$ demoduláláskor, diffúz optika!

8 | A képfrek matematikai jellegzetességei

A képfrek elegettenen a következő feltételeknek: ~~korlátos~~ korlátos, integrálható még némely matematikai helytől eltérően diffúzható, analízis a Fourier transzformáció során működősek. Egy vált eset:

$$\mathcal{F}\{f(x)\} = \int_{-\infty}^{\infty} f(x) e^{-j2\pi ux} dx = F(u)$$

$$\mathcal{F}^{-1}\{F(u)\} = \int_{-\infty}^{\infty} F(u) e^{j2\pi ux} du = f(x)$$

u = frekvencia változó

$F(x)$ dtl komplex: $F(u) = R(u) + jI(u)$

$$|F(u)| = \sqrt{R^2(u) + I^2(u)} \leftarrow \text{spektrum}$$

$$\phi(u) = \tan^{-1} \left[\frac{I(u)}{R(u)} \right] \leftarrow \text{fázismög}$$

$$F(u) = |F(u)| e^{j\phi(u)}$$

2D vált eset:

$$\mathcal{F}\{f(x, y)\} = \iint_{-\infty}^{\infty} f(x, y) e^{-j2\pi(ux + vy)} dx dy = F(u, v)$$

$$\mathcal{F}^{-1}\{F(u, v)\} = \iint_{-\infty}^{\infty} F(u, v) e^{j2\pi(ux + vy)} du dv = f(x, y)$$

többi ugyan úgy $R(u, v)$ és $I(u, v)$ -vel. Hullószálas értelmezés.

Pl: $f(x, y) = \begin{cases} A & \text{ha } 0 \leq x \leq X \text{ \& } 0 \leq y \leq Y \\ 0 & \text{kül} \end{cases}$

$$F(u, v) = A \int_0^X e^{-j2\pi ux} dx \int_0^Y e^{-j2\pi vy} dy = \frac{A}{-j2\pi u} [e^{-j2\pi ux} - 1] \frac{1}{-j2\pi v}$$

$$[e^{-j2\pi ux} - 1] = \dots = AX \left[\frac{\sin(\pi u X) e^{-j\pi u X}}{\pi u X} \right] \left[\frac{\sin(\pi v Y) e^{-j\pi v Y}}{\pi v Y} \right]$$

$$|F(u, v)| = AX \left| \frac{\sin \pi u X}{\pi u X} \right| \left| \frac{\sin \pi v Y}{\pi v Y} \right|$$

6)

10

Optimalizált kvantálás

Dirac delta: $\delta(x,y) = \begin{cases} \infty & x=y=0 \\ 0 & \text{kül} \end{cases}$ és $\iint \delta(x,y) dx dy = 1$

Mintaveteli függvény: $t(x,y) = \sum_{m=-\infty}^{\infty} \sum_{n=-\infty}^{\infty} \delta(x-m\Delta x, y-n\Delta y)$

Digitálizált bely:

$$h(k,l) = f(x,y) t(x,y)$$

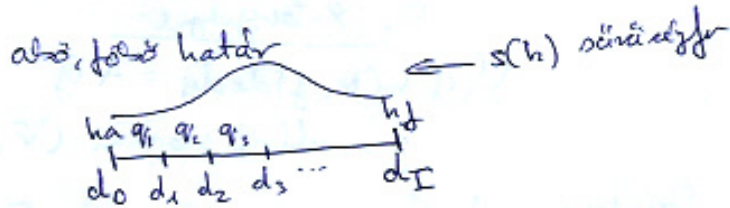
Kvantálás

Világosság bely: q $0 \leftrightarrow 63$ v $0 \leftrightarrow 255$ típképek

TFH

$$h_a \leq h(k,l) \leq h_f$$

Ezt felosztjuk I db kvantumra



s(h) a mintaveteli értékek sémiafüggvénye.

kvantálás: $q(k,l) = q_i$ ha $d_{i-1} \leq h(k,l) < d_i$

A négyzetes hiba:
$$E = \int_{h_a}^{h_f} (h - q)^2 \cdot s(h) dh = \sum_{i=1}^I \int_{d_{i-1}}^{d_i} (h - q_i)^2 s(h) dh$$

Optimális kvantálás, az E minimális értéke fűz I mellett. Ekkor E

différenciálva

$$\frac{\Delta E}{\Delta d_i} = (d_i - q_i)^2 s(d_i) - (d_i - q_{i+1})^2 s(d_i) = 0$$

$$\Rightarrow d_i = \frac{q_i + q_{i+1}}{2} \quad (i=1..I)$$

$$\frac{\Delta E}{\Delta q_i} = -2 \int_{d_{i-1}}^{d_i} (h - q_i) s(h) dh = 0 \quad / \text{tagokra bontás} \dots \Rightarrow$$

$$q_i = \frac{\int_{d_{i-1}}^{d_i} h \cdot s(h) dh}{\int_{d_{i-1}}^{d_i} s(h) dh} \quad \leftarrow \text{a sémiafüggvény adott terület súlypontja}$$

11

Posíció & Orientáció meghatározása birtokos képeken

$$b(x,y) = \begin{cases} 0 \\ 1 \end{cases} \text{ a kör } (x,y) \text{ rajzától függően}$$

$$A = \iint b(x,y) dx dy \quad (\text{terület})$$

Posíció

k-ad rendű statikai nyomaték

$$E_k = \int r^k dA = \iint r^k dx dy =$$

$$\iint r^k b(x,y) dx dy$$

$$E_0 = A$$



E_1 x -tengelyre:

$$\iint y b(x,y) dx dy = A \bar{y}$$

y -ra:

$$\iint x b(x,y) dx dy = A \bar{x}$$

ebből megvan (\bar{x}, \bar{y}) -u súlypont.

Orientáció: Az obj.-hoz rendelt min E_2 tengely iránya.

$$y = mx + b = \frac{\sin \theta}{\cos \theta} x + b \rightarrow x \sin \theta - y \cos \theta + p = 0$$

$$p = b \cos \theta$$

Egyszerű origóhoz legközelebbi pontjai: $(-p \sin \theta, p \cos \theta)$

parametrikus alak: $x = x_a + v_x \cdot s$ $y = y_a + v_y \cdot s$ s-jelel való

$$x_0 = -p \sin \theta + s \cos \theta \quad y_0 = p \cos \theta + s \sin \theta$$

$$r^2 = (x - x_0)^2 + (y - y_0)^2$$

(x,y) egyszerű birtok: fix pont

$r_{\min} = ?$ x_0, y_0 helyre behelyettesítve, s-al megjelölve az egyszerű. Ott lesz a min, ahol $\frac{dr^2}{ds} = 0$

ahol $s = x \cos \theta + y \sin \theta \rightarrow x_0$ és y_0 is behelyettesíthető majd

$$x - x_0 = x - (-p \sin \theta + \cos \theta (x \cos \theta + y \sin \theta)) =$$

$$y - y_0 = \sin \theta (x \sin \theta - y \cos \theta + p)$$

$$y - y_0 = \cos \theta (-1)$$

$$r^2 = (x - x_0)^2 + (y - y_0)^2 = (x \sin \theta - y \cos \theta + p)^2$$

$$E_2 = \iint (x \sin \theta - y \cos \theta + p)^2 b(x,y) dx dy$$

$$E_2 - t \text{ minimalizáljuk} \quad \frac{dE_2}{d\rho} = 0 = \int \int (x \sin \theta - y \cos \theta + \rho) b(x, y) dx dy$$

A tengelyreket dt kell mennie a
+tkp-ac.

$$\sin \theta \int \int x b(x, y) dx dy = \sin \theta \cdot \bar{x} \cdot A$$

Találjuk el az koordinátákat +tkp-ban

$$A(x \sin \theta - y \cos \theta + \rho) = 0$$

$$E_2 = \int \int (x' \sin \theta - y' \cos \theta)^2 b(x, y) dx dy$$

$$\rho = b \cdot \cos \theta \text{ mivel } b=0 \Rightarrow \rho=0$$

$$\frac{dE_2}{d\theta} = 0 \quad E_2 = a \sin^2 \theta - b \sin \theta \cos \theta + c \cos^2 \theta$$

$$a = \int \int x'^2 b(x, y) dx dy$$

$$b = \int \int x' y' b(x, y) dx dy$$

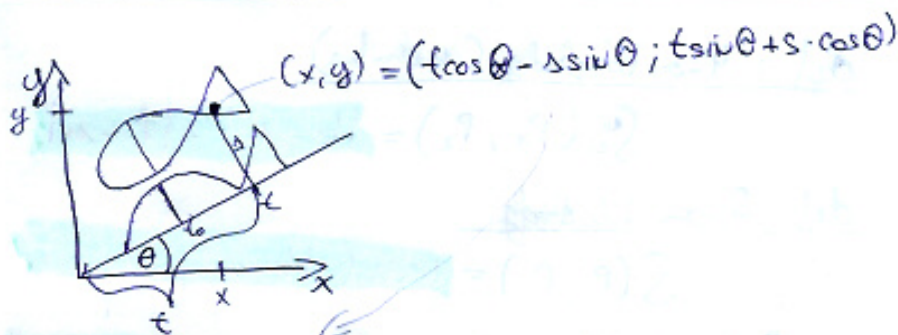
$$c = \int \int y'^2 b(x, y) dx dy$$

Majoraxis és minoraxis meghatározása

$$\text{ha } E_2 \text{ min akkor: } \tan 2\theta = \frac{b}{a-c}$$

12 Képek területi leírása, poz és orient számítása területből

Terület + tengelyre



$$P(\theta) = \int b(t \cos \theta - s \sin \theta, t \sin \theta + s \cos \theta) ds$$

Függőleges metszet: $v(x) = \int b(x, y) dy$

Vízszintes metszet: $h(y) = \int b(x, y) dx$

$$A = \int v(x) dx$$

Pozíció: $(\bar{x}, \bar{y}) = ?$

$$A \bar{x} = \int \int x b(x, y) dy dx = \int x v(x) dx$$

$$A \bar{y} = \dots$$

Omérték:

$$\begin{aligned} a &= \iint x^2 b(x,y) dx dy \\ b &= \iint xy b(x,y) dx dy \\ c &= \iint y^2 b(x,y) dx dy \end{aligned}$$

$$\begin{aligned} a &= \int x^2 v(x) dx \\ c &= \int y^2 h(y) dy \end{aligned}$$

b meghat 45°-os szöggel: $\theta = 45^\circ$

$$\Omega(t) = \int b\left(\frac{1}{\sqrt{2}}(t-s), \frac{1}{\sqrt{2}}(t+s)\right) ds$$

$$\iint \frac{1}{2}(x+y)^2 b(x,y) dx dy = \iint t^2 b(u,v) ds dt = \int_{\mathbb{R}} t^2 \Omega(t) dt =$$

mat $t^2 = \frac{(x+y)^2}{2}$, $u = \frac{1}{\sqrt{2}}(t-s)$
 $v = \frac{1}{\sqrt{2}}(t+s)$

$$= \frac{1}{2} \iint x^2 b(x,y) dx dy + \frac{1}{2} \iint y^2 b(x,y) dx dy + \underbrace{\iint xy b(x,y) dx dy}_b$$

tan $2d = \frac{b}{a-c}$ d-orientáció

13 Négy, 8, 6 monoidra fogalma, bevezetésük időkeze

def: 4-es távolság (metrika)

$$S_4(P_1, P_2) = |k-m| + |l-n|$$

def: 8-as távolság

$$S_8(P_1, P_2) = \max(|k-m|, |l-n|)$$

Chek metrika met: ① nem negatív definit $S(P_1, P_2) \geq 0$ & $= 0$

csakor ha $P_1 = P_2$

② szimmetrikus

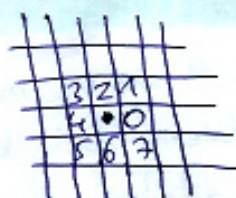
③ 3 más egyenlőség

4 monoidra: $S_4(P_1, x) = 1$ 2^4 lehetséges ~~st.~~ monoid állapot

8 monoidra: $S_8(P_1, x) = 1$ 2^8 —

Halmaz: \mathbb{R} átvonal megadása P_1, P_2 között

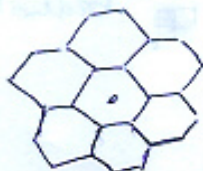
Freeman feltételezések:



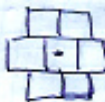
átvonal:

$$t_u(P_1, P_2) = 0, 3, 3, 2, 0, 1 \quad t_g = 0, 3, 7, 6, 7, 4$$

Halmazmérés:



,



2^6 lehetséges mérték állapot

Hason: meghatározható: melyek az egy objektum-ban tartozó képpontok

14 | Additív halmaz túl + mérték fogalma, példák

Mérték: Az \mathcal{A} σ algebraán értelmezett $\mu: \mathcal{A} \rightarrow \mathbb{R} \cup \{+\infty\}$ μ -t

mértékek nevezünk, ha

- ① $\mu(A) \geq 0 \quad (\forall A \in \mathcal{A})$
- ② $\mu(\emptyset) = 0$
- ③ $A_1, A_2, \dots \in \mathcal{A} \quad A_k \cap A_l = \emptyset \quad (k \neq l)$ esetén

$$\mu\left(\bigcup_{n=1}^{\infty} A_n\right) = \sum_{n=1}^{\infty} \mu(A_n)$$

Additív halmaz túlszági mérték: $\mu(X) + \mu(Y) = \mu(X \cup Y) + \mu(X \cap Y)$

Példák: terület, Euler szám: testek száma és lyukak számának külön-

bsége: $E(I \cup \Delta I) - E(I) = E(\Delta I) - E(I \cap \Delta I)$

15 | Euler szám a topológiában, meghatározása

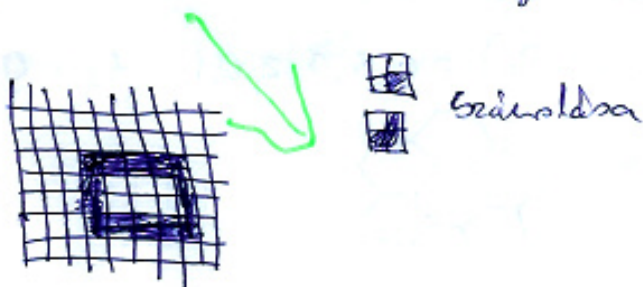
def Euler szám

Csikóbra csigott kép: $E(I \cup \Delta I) - E(I) = E(\Delta I) - E(I \cap \Delta I)$

Az $E(I) \neq E(I \cup \Delta I)$ ~~az~~ okok:

- ΔI -ben új objektum
- ΔI -ben lyukak száma

Ng Euler szám számolása: a hozzáadódó lép négyőklan vagy meghatározott irány szerint számoljuk az új objektumot kiegészítve és a lyukak számát, kivonjuk azokat számot majd az előzőből levonjuk a másodikból.



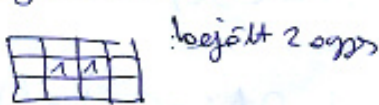
lokális operációk hatása az Euler száma:

pl 6 négyzet esetében: $E + = 1$ ha \forall négyzet $0, v. 1$

$E + = 0$ ha \forall 1-es négyzet között van szomszédosság.

$E + = 1, 2$ ha ~~esse~~ négyzet önmagában és körülbelül ~~szomszédos~~ ~~van~~ volt út.

Paralell művelet
elhatározza a számításot.



↓
Egységnyi terület a pontokat összekötő

molható a kép Euler száma

16 Képek művelei a ténylegesen, alacsony & magas frekvencia komponensok

Sűrítési művelet: lineáris művelet azaz:

- pozitív koefficienssel

$$a \cdot O_p(M) + b \cdot O_p(N) = O_p(aM + bN)$$

- átlak osztása 1



kép intenzitás nem változ.

- párhuzamosan az új értéket számoljuk ki

- átlagolás

$$A^x_{kl} = \sum_{i=0}^2 \sum_{j=0}^2 M_{ij} \cdot A_{k-i, l-j}$$

$$M = \begin{bmatrix} 1/9 & 1/9 & 1/9 \\ 1/9 & \dots & \dots \\ 1/9 & \dots & \dots \end{bmatrix}$$

↓
 $\underline{A^x} = \underline{M} \otimes \underline{A}$ matrik konvolúció

- zajt csökkenti és elcsúsztat

Stádium nő

- nem ki
- az alábbi érmes jelenet során minden majd új értékelés köréprek válnak
- salt di pepper noise-t költségen csökkent, de Gauss apertúráját nem.

Elkennő nő:

Differenciáló nő:

differenciálási képlet alapján $\frac{\partial a}{\partial x} \Big|_{i,j} = \frac{A_{i+1,j} - A_{i-1,j}}{h}$
h - pixellépték, de kicsi jelentősége

$$D_{ij}^x = A_{i+1,j} - A_{i-1,j}$$

$$M^x = \begin{bmatrix} 1 & 0 & -1 \end{bmatrix}$$

- zajszintet felcsökkentve szint y irányban átlagoló nőket érdemes melléke használni:

$$F^x = \begin{bmatrix} 1 \\ 1 \\ 1 \end{bmatrix}$$

$$D^x = M^x \otimes F^x \otimes A$$

Premit operator: $\begin{bmatrix} 1 & 0 & -1 \\ 1 & 0 & -1 \\ 1 & 0 & -1 \end{bmatrix}$ vagy $\begin{bmatrix} -1 & 1 & 1 \\ 0 & 0 & 0 \\ 1 & 1 & 1 \end{bmatrix}$

Sobel op: az y irányú nőket szűrésben különbözik:

$$\begin{bmatrix} 1 & 0 & -1 \\ 2 & 0 & -2 \\ 1 & 0 & -1 \end{bmatrix}$$

$$E \text{ ellipszoid eltolása} = \sqrt{(D^x)^2 + (D^y)^2}$$

Roberts op: $\begin{bmatrix} 1 & 0 \\ 0 & -1 \end{bmatrix}$ $\begin{bmatrix} 0 & 1 \\ -1 & 0 \end{bmatrix}$

Matematikai elbírálás módosít

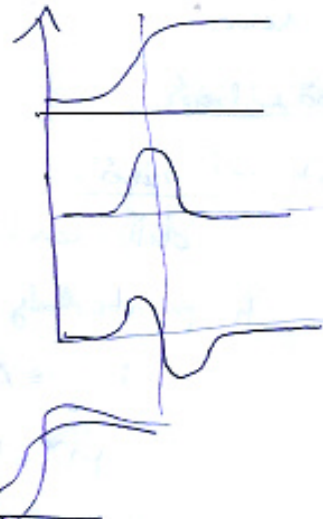
dir-grad $a(x,y) = \frac{\partial^2 a}{\partial x^2} + \frac{\partial^2 a}{\partial y^2} = \Delta a$

$$\frac{\partial^2 A}{\partial x^2} \cong \frac{A_{i+1,j} - A_{i,j}}{h} - \frac{A_{i,j} - A_{i-1,j}}{h} = \frac{A_{i+1,j} - 2A_{i,j} + A_{i-1,j}}{h^2}$$

h^2 -re eljegy

$$M^x = \begin{bmatrix} 1 & -2 & 1 \end{bmatrix}, \quad M^y = \begin{bmatrix} 1 \\ -2 \\ 1 \end{bmatrix}$$

$$L = M^x + M^y = \begin{bmatrix} 0 & -1 & 0 \\ 1 & -4 & 1 \\ 0 & 1 & 0 \end{bmatrix}$$



Ha kicsit az eredeti képből vésztünk az

$$\begin{bmatrix} 0 & 0 & 0 \\ 0 & 1 & 0 \\ 0 & 0 & 0 \end{bmatrix} - \begin{bmatrix} 0 & 1 & 0 \\ 1 & -4 & 1 \\ 0 & 1 & 0 \end{bmatrix} = \begin{bmatrix} 0 & -1 & 0 \\ -1 & 5 & -1 \\ 0 & -1 & 0 \end{bmatrix}$$

Ez az új matrica használható a kör fordulásán



Ha egy kicsit magasabb szintre: $\frac{1}{9} \begin{bmatrix} -1 & -1 & -1 \\ -1 & 5 & -1 \\ -1 & -1 & -1 \end{bmatrix}$

$w = 9A - 1$
 $A \geq 1$

18 Képek minősítése a frekvencia tartományban

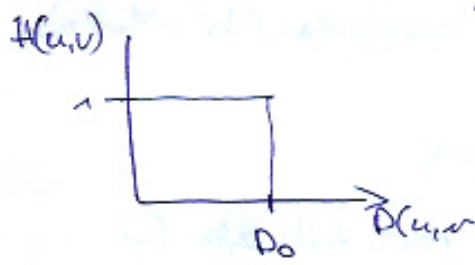
A Fourier tényleg történés minősítés alapja: a képet transformáljuk a kapott $f(u)$ valamelyik módszerrel megváltoztatjuk, majd a képet szimmetrizáljuk. Ekkor frekvenciatartománybeli minősítésre van lehetőségünk.

Ha utlagosan a nagyobb frekvenciákat önmagukban (alul átvesztés minő) a fényesség intenzitásváltozásokat megfelelő frekvencia tartományban lehet látni.

Fordítsa, ha utlagosan a képet kicsit elmozdítja a nagy frekvenciákat véletlen zajosabb lesz a kép.

Tételekkel bizonyítható \rightarrow f tartala f -el mondt

Ideális aluláteresztő műve



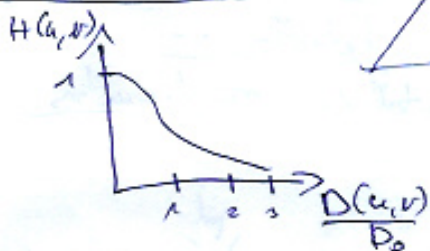
A vázlat: $f(x,y)$ -t a teljesítmény spektrum és a jel energiátartalma alapján definiáljuk:

$$P_T = \sum_{u=0}^{M-1} \sum_{v=0}^{N-1} P(u,v)$$

Az energiákoncentrációs kör $\beta\%$ -át tekint a teljesítményhez,

$$\beta = 100 \left[\sum_u \sum_v P(u,v) \right] / P_T$$

Butterworth műve



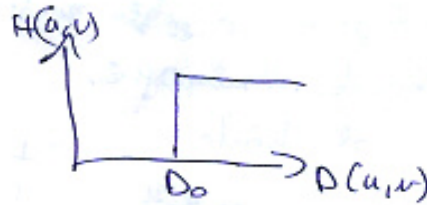
Exp: $H(u,v) = e^{-\left(\frac{P_k(u,v)}{r_0}\right)^n}$



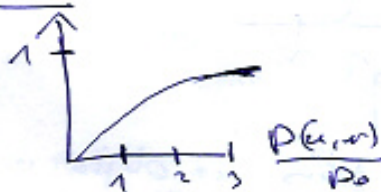
$$H(u,v) = \frac{1}{1 + \left(\frac{P(u,v)}{r}\right)^{2n}}$$

Aluláteresztő műve

ideális



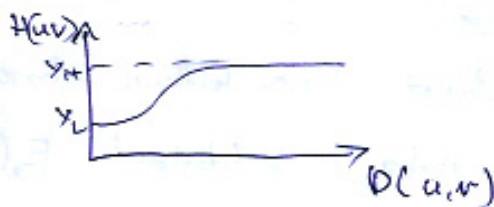
Butterworth



Homomorf műve

- cél: az emberi látás logaritmikus karakterisztikájának kivétele

$$f(x,y) \rightarrow \boxed{\ln} \rightarrow \boxed{\text{FFT}} \rightarrow \boxed{H(u,v)} \rightarrow \boxed{\text{FFT}^{-1}} \rightarrow g(x,y)$$



20 | Künnöbörzés

Kép analízis / megmetálás / miért használjuk / künnöbörzés

TFK kép : sötét hátter
világos objektumok

$f(x,y)$ - képforrás, $p(x,y)$ - pont lokális tulajd. (pl: x,y normáltság offlag)

def: A künnöbörzött kép $g(x,y) = \begin{cases} 1, & \text{ha } f(x,y) > T \\ 0, & \text{kül} \end{cases}$

ha T csak $f(x,y)$ -től függ globális künnöbörzés

- " - $f(x,y)$ & $p(x,y)$ - " - lokális - "

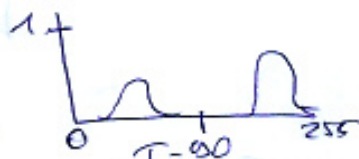
- " - függ még plumban x,y -től is adaptív - "

Egyszerű globális künnöbörzés

Histogram a ~~széles~~ minél nagyobb képen a \sqrt{pl} 0-255 ányagokból
elmondhatóak sűrűsége.

pl histogram

Csak egyszer kért tartott
közvetlenül valószínűség



Optimális künnöbörzés

histogram: $p(z)$

A két módus az objekt és a háttérnek
felüljén meg is legyen ~~csak~~ normál
elmondhatóak:

$$p(z) = P_1 p_1(z) + P_2 p_2(z) \quad P_1 + P_2 = 1$$

$$p_1(z) = \frac{1}{\sqrt{2\pi}\sigma_1} e^{-\frac{(z-\mu_1)^2}{2\sigma_1^2}} \quad p_2(z) = \dots$$

$\mu_1 < \mu_2$ és T közöttük van

Azaz a valószínűség az objektumot hibában keltéssel

$$E_1(T) = \int_{-\infty}^T p_2(z) dz \quad \text{fordított eset: } E_2(T) = \int_T^{\infty} p_1(z) dz$$

$$\text{Teljes hibaköltség: } P_2 \cdot E_1(T) + P_1 \cdot E_2(T) = E(T)$$

$E_{min} = ?$

$$\frac{dE(T)}{dt} = 0 \text{ akkor } P_1 P_1(T) = P_2 P_2(T). \text{ Ekkor nincs eltolás}$$

behelyettesítve log-ot képekre majd egyszerűsítés adódik:

$$\text{Ha } \sigma_1 = \sigma_2 \quad T = \frac{\mu_1 + \mu_2}{2} + \frac{\sigma^2}{\mu_1 - \mu_2} \ln\left(\frac{P_2}{P_1}\right). \text{ Ha } P_1 = P_2$$

az opt kényszer a középpont.

19 Használható alapú megmutatás - régióművelés és "split and merge" eljárás

szabályok:

a) $\bigcup_{i=1}^n R_i = R$ b) R_i kapcsolódó terület $\forall i$ ne

c) $R_i \cap R_j = \emptyset \quad \forall i, j, i \neq j$ - az d) $P(R_i) = True$

e) $P(R_i \cup R_j) = False \quad i \neq j$, ahol $P()$ logikaife R_i \forall példákra értékelése

Regió művelés pixel koordinátákkal

$P = \Delta q_i < \epsilon$ - jelölés az indoláposhoz képesti megengedett pixelérték változás

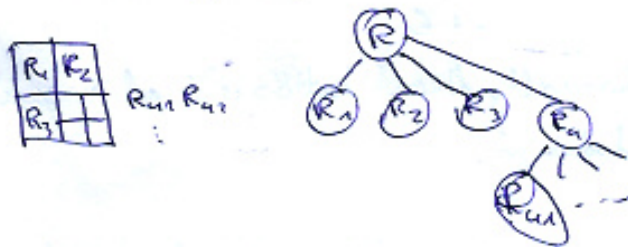
Probléma: egyébkéntől szerepe nagyon jelentős.

Lehető: szabályok megfogalmazása

Split and Merge:

az cél: egyébként valószínűségi kiterjedés

R-et addig osztják részre R_i -k-re amíg $\forall R_i$ ne $P(R_i) = True$



Orta után elvégzés a $P(R_j \cup R_k) = True$ értékek esetén az egyesítést, ha R_j és R_k szomszorosak.

Z1 Szegmentálás nagyfrekvenciás tulajdonságain - Hough - transzformáció

Pontok detektálása $R = \sum_{i=1}^n w_i z_i$ w_i - k 3×3 as matrix

~~IRI~~ $|R| > T$ ($T \geq 0$ küszöb)

hőttérrel ellátott pont detektálása

-1	-1	-1
-1	0	-1
-1	-1	-1

hasznos a képfeldolgozásban
 minőségi értékelés a szegmentálás

Vonal detektálás hőttérrel

-1	-1	-1	-1	-1	2
2	2	2	-1	2	-1
-1	-1	-1	2	-1	-1

4 db irányjelű vonal detektáló maska

szűrés 45° -os függőleges, -45°

Legyen a maska adott utlandra $R_1 - R_4$

Ha $|R_i| > |R_j| \forall j \neq i$ -re i fix. Akkor a pont az i irányú vonalhoz illik legjobban.

Szűrés detektálása

Első derivált alapján gradient módszer

... Pnemiott op, Sobel op.

Második deriválttal

- Laplace op

0	-1	0
-1	4	-1
0	-1	0

Először is nem használjuk, mert kétféle cella ad + rajzjelű, de az cella per pontosságára jó.

Hough transzformáció: Feladat egyszerű formát keresni: egyenes, körök, pontok, ellipszisek...

22 | Kontinok csoportosítása, attribútumok

A kontinok eleiből épülnek fel, melyek alapján a kontinok csoportosíthatóak:

Ellipszoid:

- SK, ugrádell: társadalmiellenes ugrás van
 - ↳ lány ugrádell: a felület normális a szemléltető fokozatban fordul el. WSK \emptyset
 - ↳ kemény ugrádell: egyiből HSK
- SCK, ugrádell: a felület normális ugrásromán váltottól de a társadalmi maga nem. Lehet konvex és konkáv $KKSCIK$ $KVSCIK$
- NGK nem geometrikus ell: sem a társadalmi sem a normális sem idt (ármű, reflexió, textúra...)

El felület

- egyenes
- ívelt

~~23 | Felület csoportosítása diffgeom jellenést alapján~~

Az ellék kombinációja, Walsz műltési tonidja

3 fde ell: SK, KKSCIK, KVSCIK

Az ell 3D leképezésű: ~~...~~

- nincs ívelt felület
- nincs kritikus elrendezés
- 1 sarokban max 3 felület találkozik
- nincs ármű, kül textúra stb...

Styker az elméleti 218 lehetőség elrendezésből 18 maradt.

Z3 Felületi csoportonkénti differenciál jellemzők alapján

Legyen $z = f(x, y)$, $H := \begin{bmatrix} f''_{xx} & f''_{xy} \\ f''_{xy} & f''_{yy} \end{bmatrix}$

$z'_1 z'_2 (f''_{xx} + f''_{yy}) + (f''_{xx} f''_{yy} - f''_{xy}{}^2) = 0$
 karakterisztikus egyenlet
 z -sajátértékek

$z_1 z_2 = f''_{xx} f''_{yy} - f''_{xy}{}^2$ $z_1 + z_2 = f''_{xx} + f''_{yy}$

Legyen: w_1 normált sajátvektor melynek irányában a görbület max.

w_2 — " — min

z_1 a görbület w_1 irányban

z_2 — " — w_2 — " —

∇f az f gradiensvektora

Haralick féle topográfiai osztályok

$ \nabla f $	λ_1	λ_2	$\nabla f \cdot \sigma^{(1)}$	$\nabla f \cdot \sigma^{(2)}$	Kategória
0	-	-	0	0	Csúcs
0	-	0	0	0	Gerinc
0	-	+	0	0	Nyereg
0	0	0	0	0	Sík
0	+	-	0	0	Nyereg
0	+	0	0	0	Völgy
0	+	+	0	0	Gödör
+	-	-	-+	-+	Lejtő
+	-	*	0	*	Gerinc
+	*	-	*	0	Gerinc
+	-	0	-+	*	Lejtő
+	-	+	-*	-+	Lejtő
+	0	0	*	*	Lejtő
+	+	-	-+	-+	Lejtő
+	+	0	-+	*	Lejtő
+	+	*	0	*	Völgy
+	*	+	*	0	Völgy
+	+	*	-+	-+	Lejtő
+	*	*	0	0	Nem lehet

**Z4 Felületi & Kontinuitás összefüggése
 minifikáció**

felületi görbület & az élék összefüggése

módszer: ellipszoid csúcspontok környezetében analízissel

Szabályok:

1] Él WSK és egyenes \Rightarrow az élhöz tartozó tartomány által definiált henger felület

2] Él WSK és ívelt \Rightarrow — " — gömbfelület

Sem az SK esetet sem a SK esetet nem osztjuk tovább z -ra vonatkozóan.

Éltipus mértékelt uozidi:

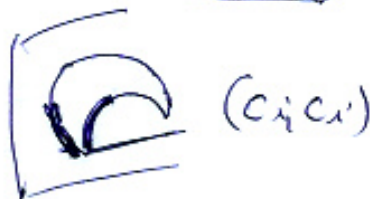
s_i - egyenes SK s_j - ívelt SK c_i - egyenes SCK c_j - ívelt SCK

~~száraz~~ ~~száraz~~ ~~száraz~~ ~~száraz~~ t^2 pár lehetőség, de ha nem
nem számít \Rightarrow 10 külön db csúcs.

Készítsük a társasjáték kezdő állapotát



(s_j, s_j) - nem lehet



Feltétel: ellipszoid mértékelt uozidi

